负载鬼臼毒素聚乳酸-羟基乙酸共聚物纳米粒的制备、性质表征和抗肿瘤 活性

Drugs & Clinic

曹思思, 金 琪, 张 丹, 方 松* 中国人民解放军中部战区总医院 药剂科, 湖北 武汉 430070

摘 要:目的 制备负载鬼臼毒素聚乳酸-羟基乙酸共聚物纳米粒(PPT-loaded PLGA NPs),并考察其对人乳腺癌 MCF-7 细 胞的抗肿瘤活性。方法 采用乳化-溶剂蒸发法制备 PPT-loaded PLGANPs,以聚乳酸-羟基乙酸共聚物 (PLGA)、聚乙烯醇 (PVA)、D-α-维生素 E 聚乙二醇 1000 琥珀酸酯 (TPGS) 质量浓度作为自变量,以粒径分布、包封率作为因变量,采用中心 复合设计-响应面法进行处方优化。使用透射电镜观察微观形态,采用透析法考察 PPT-loaded PLGA NPs 在不同 pH 值释放 介质中的体外释药特性,考察其对人乳腺癌 MCF-7 细胞的抗肿瘤作用。结果 PPT-loaded PLGA NPs 的最优处方为:PLGA 质量浓度为 120.0 mg/mL, PVA 质量浓度为 20.0 mg/mL, TPGS 质量浓度为 2.5 mg/mL。制备的 PPT-loaded PLGA NPs 呈规 则球形结构,实测粒径(163.6±4.2)nm、包封率(89.4±0.6)%。PPT-loaded PLGANPs 体外释药速率具有缓释性,48 h 累 积释放率达 90%。PPT-loaded PLGA NPs 对人乳腺癌 MCF-7 细胞表现出良好的体内外抗肿瘤活性。结论 成功制备了 PPTloaded PLGA NPs, 其具有良好的缓释效果和体内外抗肿瘤活性。

关键词: 负载鬼臼毒素 PLGA 纳米粒; 鬼臼毒素; 粒径分布; 包封率; 累积释放率; 抗肿瘤活性

中图分类号: R282.4 文献标志码: A 文章编号: 1674 - 5515(2025)09 - 2215 - 09

DOI: 10.7501/j.issn.1674-5515.2025.09.010

Preparation, characterization, and anti-tumor activity of podophyllotoxin loaded PLGA nanoparticles

CAO Sisi, JIN Qi, ZHANG Dan, FANG Song

Department of Pharmacy, Central Hospital of Central Theater, Wuhan 430070, China

Abstract: Objective To prepare podophyllotoxin loaded PLGA nanoparticles (PPT-loaded PLGA NPs) and to evaluate the anti-tumor activity against human MCF-7 breast cancer cells. Methods PPT-loaded PLGA NPs were prepared by emulsification - solvent evaporation method. PLGA concentration, PVA concentration, and TPGS concentration were used as variable factors, particle size distribution and encapsulation rate were used as evaluation indexes, and central composite design - response surface method was used to optimize the prescription. The microscopic morphology was observed with transmission electron microscope. The in vitro release characteristics of PPT-loaded PLGA NPs in different pH value release media were investigated by dialysis method. The anti-tumor activities of PPT-loaded PLGA NPs against human MCF-7 breast cancer cells were studied. Results The optimal formulation of PPTloaded PLGA NPs was as followed: with PLGA concentration of 120.0 mg/mL, PVA concentration of 20.0 mg/mL, and TPGS concentration of 2.5 mg/mL. PPT-Loaded PLGA NPs was distributed in a spherical shape, the average particle size was (163.6 ± 4.2) nm, and the encapsulation rate was $(89.4 \pm 0.6)\%$. The *in vitro* release rate of PPT-loaded PLGA NPs exhibited sustained release, with a cumulative release rate of 90% after 48 h. PPT-loaded PLGA NPs showed good antitumor activity in vitro and in vivo against human MCF-7 breast cancer cells. Conclusion PPT-loaded PLGA NPs are successfully prepared with good sustained release and anti-tumor activities in vitro and in vivo.

Key words: podophyllotoxin loaded PLGA nanoparticles; podophyllotoxin; particle size distribution; encapsulation rate; cumulative release rate; anti-tumor activity

收稿日期: 2025-05-12

基金项目: 湖北省卫生健康科研项目(WJ2021M218)

作者简介: 曹思思 (1988—), 女, 湖北武汉人, 药师, 学士, 研究方向为医院药学。E-mail: 523924919@qq.com

^{*}**通信作者**:方 松(1987—),男,湖北武汉人,主管药师,学士,研究方向为医院药学。E-mail: 328902491@qq.com

鬼臼毒素是从鬼臼属植物盾叶鬼臼 Podophyllum peltatum L. 或桃儿七 Sinopodophyllum hexandrum (Royle) Ying 根茎中提取的木脂素类化合物[1]。研究 表明,鬼臼毒素通过抑制细胞微管聚合、阻断拓扑 异构酶II活性和减少细胞对核苷的摄取展现出显著 的抗病毒、抗菌和抗肿瘤活性[2], 尤其在直肠癌、 肺癌和乳腺癌治疗中具有较大潜力[3]。然而,鬼臼 毒素的低水溶性(<0.1 mg/mL)、口服后的生物利 用度差[4-5],需要高剂量才能达到足够的血浆水平, 这会导致严重的不良反应,阻碍了其临床应用[6]。 为解决这一问题, 研究者开发了多种药物递送系统 以提高鬼臼毒素的溶解度和生物利用度[7-8]。纳米粒 作为一种新型递送载体,具有延长循环时间的特 性, 能够利用实体瘤的增强渗透和滞留效应提高药 物在肿瘤组织中富集,同时降低全身毒性,在癌症 治疗中展现出广阔前景[9]。聚乳酸-羟基乙酸共聚 物(PLGA)因优异的生物相容性、可降解性(降解 产物为乳酸、乙醇酸)已被欧洲药品管理局和美国 食品药品管理局批准用于纳米粒开发[10-11]。此外, D-α-维生素 E 聚乙二醇琥珀酸酯 (TPGS) 作为一种 两亲性三嵌段共聚物,能够通过疏水嵌段锚定在纳 米粒表面,增强稳定性,而亲水的聚乙二醇(PEG) 层则形成水合位阻屏障,延长体内循环时间[12]。本 研究以 PLGA 为载体材料,联合聚乙烯醇 (PVA) 和 TPGS 共同作为乳化剂,采用乳化-溶剂蒸发法 制备负载鬼臼毒素 PLGA 纳米粒(PPT-loaded PLGA NPs),并通过抗肿瘤活性实验评估了其对乳腺癌 MCF-7细胞的抑制效果,旨在为鬼臼毒素的临床应 用提供科学依据和技术支持。

1 仪器与材料

1.1 仪器

Ultra Turrax 型高剪切乳化机 (德国伊卡公司); Zetasizer Nano ZS90 动态光散射纳米粒度电位仪 (英国马尔文公司); TH-F120型场发射透射电子显 微镜(国仪量子技术股份有限公司); RE-2000B 型 旋转蒸发器(郑州华辰仪器有限公司); DF-101S 型 集热式恒温加热磁力搅拌器(郑州科泰实验设备有 限公司); 96 孔细胞培养板 (赛默飞世尔科技有限 公司)。

1.2 试药

鬼臼毒素(福建华海药业有限公司,批号 240611, 质量分数 98.5%); 鬼臼毒素对照品(中国 食品药品检定研究院,批号111645-201803,质量分

数 99.6%); 聚乳酸 - 羟基乙酸共聚物 (LA/GA 50: 50, 相对分子质量 24 000~38 000, 上海麦克林生 化科技股份有限公司); 聚乙烯醇(PVA,相对分子 质量 $13\,000\sim23\,000$, 德国默克公司); D-α-维生素 E聚乙二醇 1000 琥珀酸酯(TPGS, 德国默克公司); 二氯甲烷(南京化学试剂股份有限公司); DMEM 培 养基(德国默克公司),二甲基亚砜(DMSO,德国 默克公司),四甲基偶氮唑蓝(MTT,德国默克公 司); 人乳腺癌 MCF-7 细胞株 (苏州海星生物科技 有限公司)。

1.3 实验动物

SPF 级 Balb/c 雌性小鼠 (周龄 6~7 周, 体质 量 20~30 g), 实验动物由浙江维通利华实验动物 技术有限公司提供,生产许可证号: SCXK(浙) 2019-0001。实验期间所有动物均饲养于屏障环境, 环境参数恒定控制为:温度(24.0±1.0)℃,相对 湿度 55%~65%, 采用 12h 昼夜循环光照系统, 自 由摄食饮水。动物实验操作严格遵循实验动物伦理 委员会相关规范要求。

2 方法与结果

2.1 PPT-loaded PLGA NPs 的制备

采用乳化 - 溶剂蒸发法制备 PPT-loaded PLGA NPs^[13]。 将处方量的 PPT 和 PLGA 加入到 10 mL 二 氯甲烷中,经超声处理使其完全溶解,形成有机相。 将处方量的 PVA 和 TPGS 溶解于 100 mL 蒸馏水 中,作为水相。在1000 r/min 的磁力搅拌条件下, 将有机相缓慢加入到水相中,并持续搅拌 10 min, 初步乳化。随后,将混合液置于高速剪切设备中, 以 20 000 r/min 速度进一步乳化 15 min,形成稳定 的初级乳液。将该乳液转移至旋转蒸发器中, 在减 压条件下去除二氯甲烷,药液经 0.45 μm 微孔滤膜 滤过,去除可能存在的不溶性微粒。向滤液中补加 蒸馏水至总体积为 100 mL, 终产品在 4~8 ℃的条 件下密闭保存。

2.2 粒径、多分散性指数 (PDI) 和 Zeta 电位测定 通过动态光散射技术测量 PPT-loaded PLGA NPs 的粒径分布、PDI。仪器参数设置: 散射角为 173°, 折射率为 1.33, 使用 4.0 mV He-Ne 激光器, 检测波长为 633 nm。利用电泳迁移率测定 Zeta 电 位。样品均用蒸馏水稀释,在测量前,样品需在室 温下平衡 5 min。

2.3 HPLC-UV 法检测鬼臼毒素[15]

2.3.1 色谱条件 乙腈 - 水 (70:30) 为流动相,

体积流量 1.0 mL/min, 检测波长为 292 nm, 柱温为 30 ℃。

2.3.2 对照品溶液的配制 精密称取鬼臼毒素对照品 10.0 mg,加入到 50 mL 量瓶中,加入 10.0 mL 乙腈,超声溶解,用流动相加至刻度,摇匀,即得。
2.3.3 供试品溶液的配制 精密移取 PPT-loaded PLGA NPs 5.0 mL 加入到 50 mL 量瓶中,加入 10.0 mL 乙腈,超声溶解破乳,用流动相加至刻度,摇匀,经 0.45 μm 微孔滤膜滤过,收集滤液,即得。
2.3.4 测定方法 取鬼臼毒素对照品溶液和 PPT-loaded PLGA NPs 供试品溶液,进样测定,采用外标法计算鬼臼毒素的质量浓度。

2.4 包封率测定

采用低温超速离心法测定 PPT-loaded PLGA NPs 的包封率[14]。取 $5.0 \, \text{mL}$ 载药纳米粒,置于超速离心管中,于 $4 \, ^{\circ} \mathbb{C} \cdot 15\,000 \, \text{r/min}$ 条件下离心 $20\, \text{min}$,弃去含游离药物的上清液后,向沉淀物中加入 $10.0\, \text{mL}$ 乙腈充分溶解纳米粒,转移至 $50\, \text{mL}$ 量瓶,流动相加至刻度,得到包封药物的待测溶液(W_{test});另平行取 $5.0\, \text{mL}$ 载药纳米粒直接加入到 $50\, \text{mL}$ 量瓶中,加入 $10\, \text{mL}$ 乙腈破乳,并加入流动相至刻度,得到总药物待测溶液(W_{test})。计算 PPT-loaded PLGA NPs 的包封率(EE)。

EE=W 包封/W 总

2.5 处方优化

在纳米粒的质量评价中,粒度分布和包封率常被选为关键指标[16]。前期实验显示,处方中的 PLGA 质量浓度、PVA 质量浓度和 TPGS 质量浓度是影响 PPT-loaded PLGA NPs 质量的关键参数。鉴于此,本研究确定以 PLGA 质量浓度 (X_1) 、PVA 质量浓度 (X_2) 和 TPGS 质量浓度 (X_3) 作为自变量,以 PPT-loaded PLGA NPs 的粒径分布 (Y_1) 和包封率 (Y_2) 作为因变量,按照表 1 设定的 3 个自变量梯度 水平,采用中心复合设计-响应面法(CCD-RSM)生成 17 组验证处方的实验矩阵,见表 2。通过系统考察 3 个自变量对纳米粒包封效率、粒径特征的协同作用,建立自变量与因变量响应值之间的数学模型,最终建立了数学预测模型,以确定最优的处方组成。

应用中心复合设计 - 响应面法实验软件对表 2 中的实验数据进行统计分析,采用多元二次模型拟合,清晰揭示自变量与因变量之间的内在相关性,方差分析结果见表 3,拟合方程为 Y_1 =-13.67+1.83

表 1 变量及水平
Table 1 Variables and levels

사고	自变量				
水平	$X_1/(\text{mg}\cdot\text{mL}^{-1})$	$X_2/(\text{mg}\cdot\text{mL}^{-1})$	$X_3/(\text{mg}\cdot\text{mL}^{-1})$		
-1	75	15	1		
0	0	20	2		
1	175	25	3		

表 2 实验设计及结果

Table 2 Experimental design and results

序号	X_1	X_2	X_3	Y_1/nm	Y ₂ /%
1	0	0	0	192.3	88.3
2	0	0	-1	177.1	91.3
3	-1	0	-1	94.3	83.7
4	-1	-1	1	149.3	69.4
5	1	0	0	86.4	63.4
6	1	-1	1	188.8	86.1
7	-1	-1	-1	153.2	73.6
8	0	-1	0	176.8	74.5
9	1	0	-1	196.1	91.2
10	0	0	0	187.7	89.5
11	0	0	0	143.8	80.2
12	0	0	0	237.3	89.4
13	0	0	0	176.7	88.6
14	1	0	1	168.3	87.5
15	-1	0	1	94.9	72.5
16	0	0	0	195.3	89.1
17	1	-1	-1	251.8	90.8

 $X_1+1.11 X_2+62.06 X_3+0.03 X_1X_2-0.29 X_1X_3+0.24$ $X_2X_3-0.04 X_1^2-0.20 X_2^2-10.84 X_3^2 (R^2=0.959 4);$ $Y_2=-18.37+0.65 X_1+5.39 X_2+1.29 X_3-0.06 X_1 X_2+0.02 X_1X_3-0.15 X_2X_3-0.02 X_1^2-0.10 X_2^2-0.90 X_3^2$ $(R^2=0.974 4)_{\circ}$

通过软件生成的 3D 响应面图可以直观地分析 3 个自变量 PLGA 质量浓度 (X_I) 、PVA 质量浓度 (X_2) 和 TPGS 质量浓度 (X_3) 与 PPT-loaded PLGA NPs 的粒径分布 (Y_I) 和包封率 (Y_2) 之间的关系,结果见图 1。

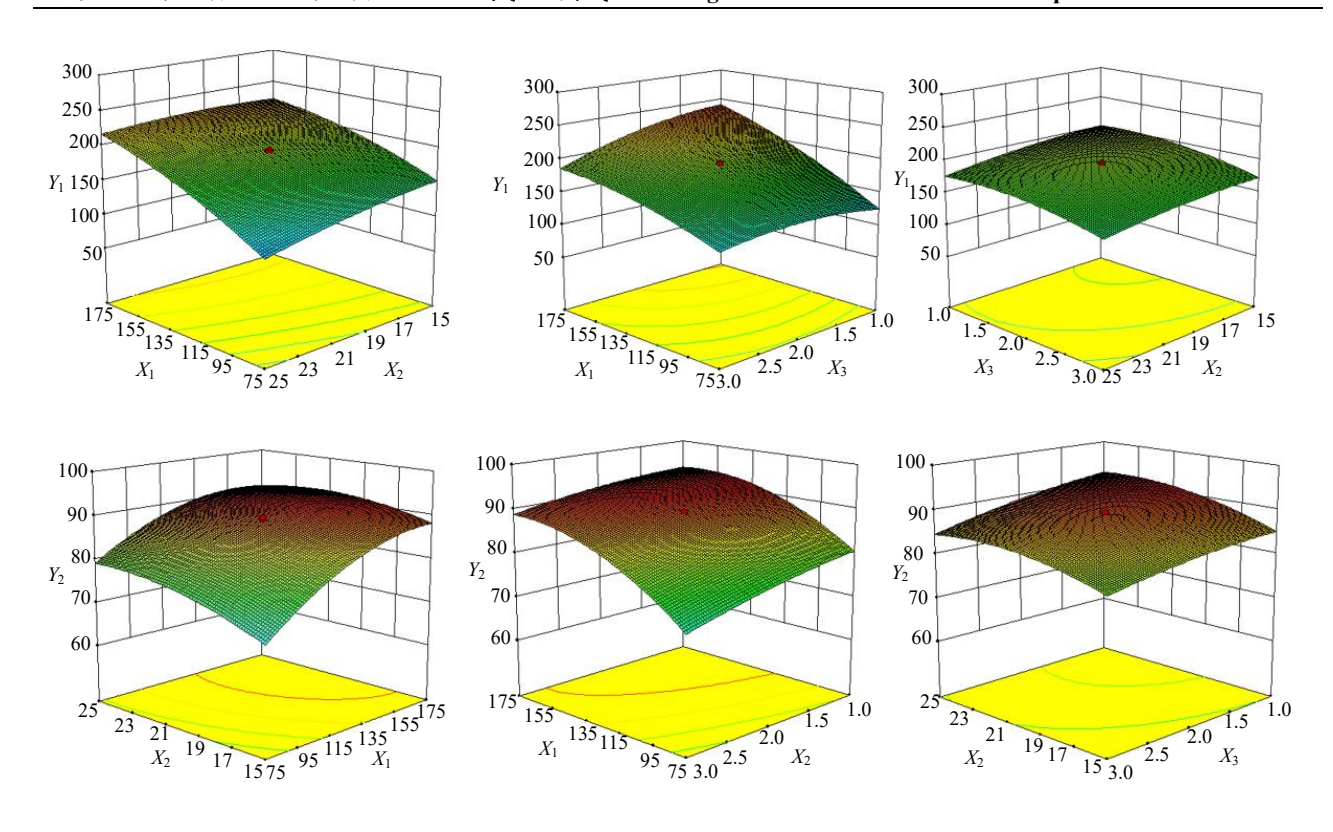
3D 响应面图可知:处方中增加 PLGA 质量浓度会导致纳米粒粒径显著增大,这可能是由于 PLGA 质量浓度的增加会提高有机相的体系黏度,降低了剪切应力,减缓有机相向水相的扩散,从而产生更大的粒径;处方中 PVA 可以占据有机相和水相的界面,从而降低界面张力,增加剪切应力,因此增加 PVA 质量浓度会促进了纳米粒粒径减小;处

表 3 PLGA 质量浓度、PVA 质量浓度和 TPGS 质量浓度对粒径分布、包封率影响的方差分析结果 Table 3 ANOVA results for the effect of PLGA concentration, PVA concentration, and TPGS concentration on particle size distribution and encapsulation efficiency

来源	平方和	自由度	平均值	F 值	P 值
粒径分布 (Y ₁)					
模型	34 603.90	9	3 844.88	18.40	0.000 4
X_1	26 104.66	1	26 104.66	124.90	< 0.000 1
X_2	1 866.75	1	1 866.75	8.93	0.020 3
X_3	2 375.17	1	2 375.17	11.36	0.011 9
X_1X_2	562.80	1	562.80	2.69	0.144 8
X_1X_3	1 725.78	1	1 725.78	8.26	0.023 9
X_2X_3	11.76	1	11.76	0.06	0.819 3
X_1^2	1 207.32	1	1 207.32	5.78	0.047 2
X_2^2	291.01	1	291.01	1.39	0.276 5
X_3^2	1 325.57	1	1 325.57	6.34	0.039 9
残差	1 463.01	7	209.00		
失拟项	1 433.71	3	286.74	19.57	0.049 3
纯误差	29.31	2	14.65		
总和	36 066.91	16			
包封率 (Y2)					
模型	1 222.62	9	135.85	29.55	< 0.000 1
X_1	734.09	1	734.09	159.71	< 0.000
X_2	109.74	1	109.74	23.88	0.001 8
X_3	132.06	1	132.06	28.73	0.001 1
X_1X_2	16.25	1	16.25	3.53	0.102 2
X_1X_3	6.13	1	6.13	1.33	0.286 2
X_2X_3	4.50	1	4.50	0.98	0.355 4
X_1^2	199.05	1	199.05	43.30	0.000 3
X_2^2	63.92	1	63.92	13.91	0.007 4
X_3^2	9.05	1	9.05	1.97	0.203 2
残差	32.18	7	4.60		
失拟项	41.43	3	6.29	16.84	0.0570
纯误差	0.75	2	0.37		
总和	1 254.80	16			

方中 TPGS 质量浓度对纳米粒的粒径影响显著,可 能是由于 TPGS 质量浓度高,表面活性剂可以阻止 纳米粒的聚结,保护和稳定乳化过程中形成的液 滴,从而使乳液液滴更小。

3D 响应面图可知:处方中增加 PLGA 质量浓 度会显著提高药物的包封率,这可能是因为随着体 系中 PLGA 质量浓度的增大,有机相的黏度增加, 从而提高了有机相与水相之间的扩散阻力, 促使纳 米粒包裹更多的药物;处方中随着 PVA 质量浓度的 增加,药物包封率出现显著的增加趋势,这是由于 在乳化过程中 PVA 促使 PLGA 包裹更多的药物分 子,从而提高了药物的包封率;处方中随着 TPGS 质量浓度的增加, 纳米粒的包封率却显著减小, 这 是由于较高质量浓度的 TPGS 会对药物产生增溶作 用,药物会更多地溶解在水相中,降低了药物的包 封率。



Drugs & Clinic

图 1 PLGA 质量浓度、PVA 质量浓度和 TPGS 质量浓度对粒径分布和包封率影响的 3D 响应面图 Fig. 1 3D effect surface diagram of the influence of PLGA concentration, PVA concentration, and TPGS concentration on particle size distribution and encapsulation efficiency

本研究以制备粒径"最小化"、包封率"最大化" 的 PPT-loaded PLGA NPs 为目标,采用中心复合设 计-响应面法进行处方优化。经实验模型分析,确 定了 PPT-loaded PLGA NPs 的最优处方为: PLGA 质量浓度为 120.0 mg/mL, PVA 质量浓度为 20.0 mg/mL, TPGS 质量浓度为 2.5 mg/mL。该处方下理 论预测值为粒径 167.8 nm、包封率 89.6%。验证实 验结果显示,制备 3 批 PPT-loaded PLGA NPs 样品 的实测粒径(163.6±4.2)nm、包封率(89.4±0.6)%, 与预测值高度吻合, 证实所建数学模型具有良好的 预测能力,见表4。

2.6 性质表征

使用透射电镜对 PPT-loaded PLGA NPs 的形貌

表 4 负载鬼臼毒素 PLGA 纳米粒的性质测定结果 Table 4 Results of PPT-loaded PLGA NPs properties

批号	粒径分布/nm	包封率/%
20250114-1	159.7	90.1
20250114-2	168.1	89.0
20250114-3	163.0	89.1

进行了分析,取1滴稀释后的样品放在300目碳涂 层铜网格上, 用滤纸除去多余的液体, 自然风干。 加入 1%磷钨酸滴到网格中,染色 5 min,在 120 kV 的加速电压下观察 PPT-loaded PLGA NPs 的微观形 态,见图 2。透射电镜照片显示,PPT-loaded PLGA NPs 呈规则球形结构,表面形貌均一,边界清晰, 分散状态良好。通过图像统计粒径分布范围为 100~200 nm, 略小于动态光散射法测得的流体力 学直径,这可能与电镜样品干燥处理时纳米粒脱水 收缩有关[17]。

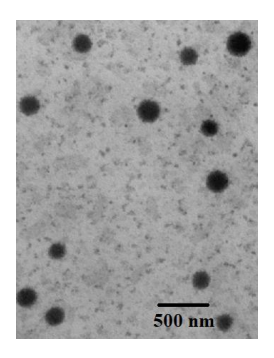


图 2 负载鬼臼毒素 PLGA 纳米粒透射电镜照片 Fig. 2 Transmission electron microscope image of PPTloaded PLGA NPs

采用透析法评价 PPT-loaded PLGA NPs 在不同 pH 值环境中的释药特性[18]。精密量取 1 mL PPTloaded PLGA NPs (载药量 15.0 mg/mL) 注入预处 理过的相对分子质量为 1×10⁴分子截留透析袋(经 去离子水活化 24 h), 两端密封后分别置于含 0.2% 聚山梨酯 80 的 pH 5.0 (模拟肿瘤微环境)、pH 6.0 (组织间隙环境)和 pH 7.4 (生理条件)磷酸盐缓冲 液中,释放介质体积均为 200 mL。实验体系置于 (37.0±0.5)℃恒温磁力搅拌器,维持(100±5)r/min 持续搅拌。于预设时间点(2、4、6、8、12、24、 48h)精密取样2mL(同时补加等温、等体积空白 介质), 经 0.22 μm 微孔滤膜滤过后, 采用 HPLC-UV 法定量分析药物质量浓度, 计算累积释放率。 同法, 取鬼臼毒素原料药溶解在 30% DMSO 水溶 液中(质量浓度为15.0 mg/mL),取1 mL 混悬液加 入透析袋内,按照上述方法操作,分别选择 0.2%聚 山梨酯 80 的 pH 5.0、6.0、7.4 的磷酸盐缓冲液进行 药物释放曲线测定,见图 3。结果显示,鬼臼毒素 原料药在体外释药速率不具有 pH 值相关性,均能

快速释放; PPT-loaded PLGA NPs 体外释药速率具

有缓释性, 其释药过程可分为两个阶段: 初期(0~

8h)表现为快速释放模式,其累积释放率达 40%,

主要源于纳米粒表面吸附的游离药物和核/壳界面 区域药物快速解吸附[19];后期(8~48h)转为持续

缓释模式,48h累积释放率达90%,这是由于载体

材料 PLGA 酯键逐步水解,促使聚合物链段松弛产

生扩散通道,药物通过孔道扩散释放[19]。

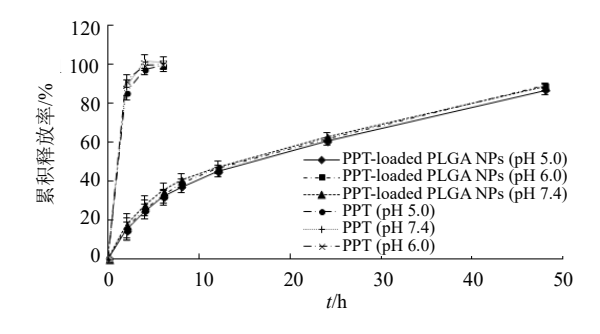


图 3 负载鬼臼毒素 PLGA 纳米粒在不同 pH 值介质中的 体外释放曲线 (n=6)

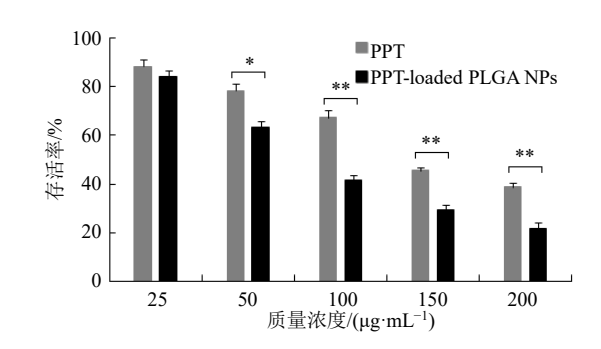
Fig. 3 In vitro release profile of PPT-loaded PLGA NPs in different pH medias (n=6)

2.8 抗肿瘤活性评价

2.8.1 体外抗肿瘤活性评价 采用四甲基偶氮唑 蓝法 (MTT) 评价游离鬼臼毒素、PPT-loaded PLGA

NPs 对人乳腺癌 MCF-7 细胞的毒性。将处于指数生 长期的人乳腺癌 MCF-7 细胞制成 5×10⁴ 个/mL 的 悬浮液,并以每孔 100 μL 接种到 96 孔板中,将 96 孔板置于 37 ℃、5% CO₂的培养箱中孵育 24 h, 使 细胞贴壁生长。弃掉培养基,向每孔中分别加入不 同质量浓度(25、50、100、150、200 μg/mL)的游 离鬼臼毒素、PPT-loaded PLGA NPs 和空白 PLGA NPs, 在相同条件下继续孵育 48 h, 弃掉药液, 用 pH 7.4 磷酸盐缓冲液 (PBS) 清洗细胞 3 次, 去除 残留药物。向每孔中加入 5 mg/mL MTT 溶液 200 μL,继续孵育 4 h,活细胞内的线粒体脱氢酶可将 MTT 还原为紫色的甲醛结晶,弃掉上清液,加入 DMSO 100 μL, 恒温振荡 20 min, 溶解甲醛结晶, 15 min 后, 使用酶标仪在 570 nm 处测定吸光度 (A) 值。以未加药物的细胞组作为对照组,以含培养基 组作为空白组,计算细胞增殖存活率,结果见图 4。

存活率= $(A_{9\%} - A_{20}) / (A_{7M} - A_{20})$



与鬼臼毒素组比较: *P<0.05 **P<0.01。
*P<0.05 **P<0.01 vs PPT group.

图 4 负载鬼臼毒素 PLGA 纳米粒对人乳腺癌 MCF-7 细胞存活率的影响 ($\bar{x} \pm s$, n = 3)

Fig. 4 Effects of PPT-loaded PLGA NPs on the survival rate of human breast cancer MCF-7 cells ($\bar{x} \pm s, n = 3$)

体外抗肿瘤实验结果显示,经 MTT 法测定鬼 臼毒素对人乳腺癌 MCF-7 细胞的半数抑制浓度 (IC₅₀) 为 151.9 μg/mL,PPT-loaded PLGA NPs 的 IC₅₀ 为 99.3 μg/mL。鬼臼毒素和 PPT-loaded PLGA NPs 对人乳腺癌 MCF-7 细胞的抑制效应均呈现浓度相关性,即随着药物浓度升高,两组均显著降低了肿瘤细胞的存活率。值得注意的是,在药物浓度相同下,PPT-loaded PLGA NPs 对乳腺癌细胞的抑制作用高于鬼臼毒素,这与其独特的纳米特性密切相关,粒径较小的纳米粒可通过增强与细胞膜的表面吸附作用,并借助网格蛋白介导的胞吞途径高效

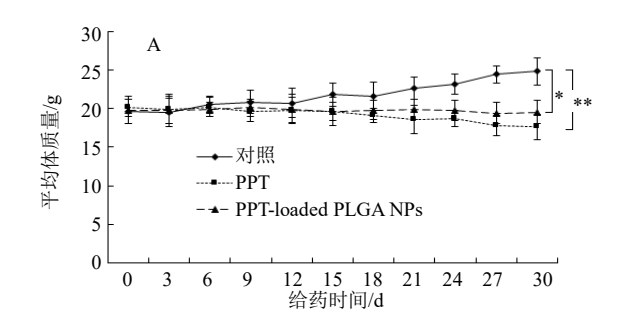
内化至细胞内,从而显著提升药物抗肿瘤效果[20]。 该结果提示纳米制剂可有效克服鬼臼毒素原料药 细胞摄取效率低的局限性。此外,空白 PLGA NPs 在 50~600 μg/mL 对乳腺癌细胞活力无显著影响, 表明 PLGA NPs 具有良好的生物相容性,其载体材 料对肿瘤细胞无直接毒性作用。

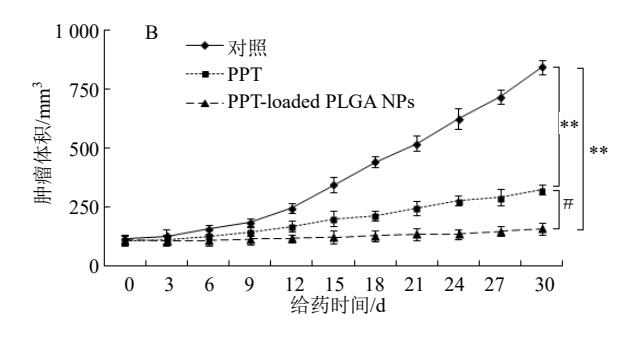
2.8.2 体内抗肿瘤活性评价 采用异种移植瘤模 型评价 PPT-loaded PLGA NPs 的抗肿瘤活性。将处 于指数生长期的人乳腺癌 MCF-7 细胞混悬液注入 雌性 BALB/c 裸鼠腹膜腔。10 d 后,从裸鼠腹水中 收集乳腺癌细胞, 通过离心去除上清液后, 用生理 盐水稀释至细胞浓度为 1.0×10⁷ 个/mL。取 200 μL 细胞混悬液接种于雌性 BALB/c 裸鼠腹部皮下,建 立皮下肿瘤模型。待肿瘤体积生长至约 100 mm³ 时, 将荷瘤裸鼠随机分为3组,对照组股iv生理盐水, PPT 组股 iv 鬼臼毒素溶液 (溶剂为 30% DMSO 水 溶液), PPT-loaded PLGA NPs 组股静脉注射 PPTloaded PLGA NPs,给药剂量均为30 mg/kg。各组均 采用每日定时单次给药方案,连续给药 30 d。实验 期间每3天记录动物体质量变化,并通过游标卡尺 测量肿瘤长径 (L) 和短径 (W), 按公式 $V=(L\times$ W^2)/2 计算肿瘤体积。通过动态监测肿瘤生长曲线 和体质量变化评估 PPT-loaded PLGA NPs 的抗肿瘤 效果,见图5。

实验期间各组裸鼠体质量和肿瘤生长动态监 测结果显示: 对照组在 30d 干预周期内呈现持续体 质量增长(增幅约 26.5%),提示肿瘤进展未被有 效控制; PPT 组则出现进行性体质量下降, 提示游 离药物可能引发系统性不良反应。而 PPT-loaded PLGA NPs 组虽也存在体质量下降现象,但变化幅 度相对稳定。肿瘤体积分析显示, 对照组肿瘤呈指 数型快速增长,而 PPT、PPT-loaded PLGA NPs 组 肿瘤增殖速率显著减缓(P < 0.01)。值得注意的是, PPT-loaded PLGA NPs 组的肿瘤体积增幅较 PPT 组 的肿瘤体积增幅明显降低(P < 0.05), 提示 PPTloaded PLGA NPs 递送系统通过增强肿瘤靶向性和 缓释效应显著提升药物的抑瘤效果。

3 讨论

PLGA 纳米粒常见的制备方法包括纳米粒沉淀 法、乳化溶剂蒸发法、高压均质法等[21]。在前期预 实验过程中,比较了上述3种制备工艺的可行性。 结果显示: 采用纳米粒沉淀法制备的 PLGA 纳米粒 有大量的白色沉淀析出;采用高压均质法制备的





与对照组比较: *P<0.05 **P<0.01; 与 PPT 组比较: #P<0.05。 *P < 0.05 **P < 0.01 vs control group; *P < 0.05 vs PPT group.

不同治疗方案对荷瘤小鼠体质量变化(A)和荷瘤小 鼠肿瘤生长曲线(B)的影响

Fig. 5 Effect of different treatment on body weight changes (A) and tumor growth curves (B) of tumor-bearing

PLGA 纳米粒则表现出粒径分布不均匀, PDI 较大; 而以乳化溶剂蒸发法制备的 PLGA 纳米粒,外观为 淡蓝色、有乳光, 粒径分布均匀, 物理稳定性良好, 同时药物包封率也有所提高,且该方法操作简便, 重复性也较理想,能够很好地满足实验需求。因此, 本研究选择乳化溶剂蒸发法制备 PPT-loaded PLGA NPs.

处方、工艺多种因素均会对 PLGA 纳米粒的性 质产生影响, 仅通过单因素实验或正交实验设计难 以精准预测各因素间的交互作用,而具备实验次数 较少、准确度高、优选条件预测性准确等诸多优势 的中心复合设计 - 响应面法被用于 PPT-loaded PLGA NPs 的处方筛选,通过考察处方中的 PLGA 质量浓度、PVA质量浓度和TPGS质量浓度3个因 素对 PPT-loaded PLGA NPs 制剂性质的影响,获得 最优处方。进一步对 PPT-loaded PLGA NPs 微观形 态观察和体外释放测定,结果显示 PPT-loaded PLGA NPs 呈规则球形结构, 且具备一定缓释效果。

抗肿瘤活性研究结果显示, PPT-loaded PLGA NPs 表现出良好的抗肿瘤活性,推测 PPT-loaded PLGA NPs 通过以下多重机制协同增强抗肿瘤疗效: (1)表面修饰的 TPGS 可显著降低单核巨噬细胞系统对纳米粒的识别和清除,使其血液循环半衰期延长,从而提升了药物在肿瘤组织蓄积; (2)PPT-loaded PLGA NPs 的缓释特性使药物维持长达 48 h的持续释放 (体外释放实验显示累积释放率达90%),有效延长治疗窗口期; (3)粒径优化至 100~200 nm 的 PPT-loaded PLGA NPs 可充分利用实体瘤的增强渗透和滞留效应,通过血管内皮间隙选择性富集于肿瘤微环境。这三者共同作用使载药系统在降低系统毒性的同时,显著提升局部药物浓度和疗效持续性。

鬼臼毒素已经被制备成多种递药系统,如谷丽艳等[15]成功将鬼臼毒素制备成 HAIYPRH 修饰的脂质体,经动物证明其具有较强的脑靶向作用;此外,谷丽艳等[22]制备了活性氧响应型透明质酸修饰的鬼臼毒素纳米胶束,体内结果显示其对卵巢癌细胞的靶向能力显著增强;王江等[7]以海藻酸钠作为载体材料,将鬼臼毒素制备成凝胶珠载药体系,该给药系统可降低鬼臼毒素的细胞毒性,并可能实现结肠癌的靶向给药; Liu 等[23]以黄芪多糖作为鬼臼毒素的胶束载体,并在其表面采用磷脂酰聚乙二醇/甲氨蝶呤进行修饰,用于靶向叶酸受体高表达的卵巢癌细胞的治疗。本研究采用 PLGA 为载体材料,将载鬼臼毒素制备成 PLGA 纳米粒,体内外研究结果显示,其对人乳腺癌 MCF-7 细胞具有良好的抗肿瘤效果,有望成为乳腺癌治疗一种新的治疗策略。

利益冲突 所有作者均声明不存在利益冲突

参考文献

- [1] 蒲香谷, 江丽洁, 陈籽亦, 等. 鬼臼毒素的生物合成及药理活性研究进展 [J]. 中国现代应用药学, 2024, 41(11): 1557-1567.
- [2] Shah Z, Gohar U F, Jamshed I, *et al.* Podophyllotoxin: History, recent advances and future Prospects [J]. *Biomolecules*, 2021, 11(4): 603.
- [3] Ardalani H, Avan A, Ghayour-Mobarhan M. Podophyllotoxin: A novel potential natural anticancer agent [J]. Avicenna J Phytomed, 2017, 7(4): 285-294.
- [4] Roy A, Zhao Y, Yang Y, et al. Selective targeting and therapy of metastatic and multidrug resistant tumors using a long circulating podophyllotoxin nanoparticle [J]. Biomaterials, 2017, 137: 11-22.
- [5] 王云,柯青,唐之俭,等.鬼臼毒素固体脂质纳米粒对非小细胞肺癌 A549 细胞增殖和迁移的影响 [J]. 药物

- 流行病学杂志, 2023, 32(6): 648-654.
- [6] Liang B, Zhou D. ROS-activated homodimeric podophyllotoxin nanomedicine with self-accelerating drug release for efficient cancer eradication [J]. *Drug Deliv*, 2021, 28(1): 2361-2372.
- [7] 王江,王庆峰,蒋亦昕,等.海藻酸钠/鬼臼毒素凝胶 载药体系制备、释放及对结肠癌的抑制效果 [J]. 中国 组织工程研究, 2018, 22(22): 3498-3505.
- [8] 苗健, 孙丽, 高雷, 等. 活性氧响应型鬼臼毒素聚合物 前药胶束的制备及其抗口腔癌活性 [J]. 医药导报, 2024, 43(11): 1782-1790.
- [9] Yang M, Li J, Gu P, et al. The application of nanoparticles in cancer immunotherapy: Targeting tumor microenvironment [J]. Bioact Mater, 2020, 6(7): 1973-1987.
- [10] Singh S, Singha P. Effect of modifications in poly (lactide-co-glycolide) (PLGA) on drug release and degradation characteristics: A mini review [J]. *Curr Drug Deliv*, 2021, 18(10): 1378-1390.
- [11] Chiu H I, Samad N A, Fang L, et al. Cytotoxicity of targeted PLGA nanoparticles: A systematic review [J]. RSC Adv, 2021, 11(16): 9433-9449.
- [12] Mehata A K, Setia A, Vikas, *et al.* Vitamin E TPGS-based nanomedicine, nanotheranostics, and targeted drug delivery: Past, present, and future [J]. *Pharmaceutics*, 2023, 15(3): 722.
- [13] 黄华婷, 蔡梦如, 付京, 等. 聚乳酸-羟基乙酸共聚物 纳米粒载中药抗肿瘤成分的研究进展 [J]. 中草药, 2022, 53(22): 7295-7306.
- [14] Lv Y, He H, Qi J, *et al.* Visual validation of the measurement of entrapment efficiency of drug nanocarriers [J]. *Int J Pharm*, 2018, 547(1-2): 395-403.
- [15] 谷丽艳, 孙朝渭, 刘鑫程, 等. HAIYPRH修饰鬼臼毒素 脂质体处方工艺优化及其脑靶向性评价 [J]. 中草药, 2024, 55(24): 8392-8402.
- [16] 魏永鸽,黄贺梅,齐园圃,等. Box-Behnken 设计-效应 面法优化吴茱萸碱-羟基乙酸共聚物纳米粒处方及体 外释药研究 [J]. 中国医院药学杂志, 2021, 41(23):
- [17] Arizmendi N, Qian H, Li Y, et al. Sesquiterpene-loaded copolymer hybrid nanoparticle Effects on human mast cell surface receptor expression, granule contents, and degranulation [J]. Nanomaterials (Basel), 2021, 11(4): 953.
- [18] 管庆霞,夏昭睿,王艳宏,等.包载马钱子碱聚乳酸-羟基乙酸共聚物纳米粒处方工艺优化及其特性研究 [J].中草药,2021,53(4):951-961.
- [19] Kumskova N, Ermolenko Y, Osipova N, et al. How subtle differences in polymer molecular weight affect doxorubicin-loaded PLGA nanoparticles degradation and

drug release [J]. J Microencapsul, 2020, 37(3): 283-295.

现代药物与临床

- [20] Dadpour S, Mehrabian A, Arabsalmani M, *et al.* The role of size in PEGylated liposomal doxorubicin biodistribution and anti-tumour activity [J]. *IET Nanobiotechnol*, 2022, 16(7-8): 259-272.
- [21] Naskar S, Das S K, Sharma S, *et al*. A review on designing poly (lactic-co-glycolic acid) nanoparticles as drug delivery systems [J]. *Pharm Nanotechnol*, 2021, 9(1): 36-

50.

- [22] 谷丽艳, 孙朝渭, 董禹何, 等. 活性氧响应型透明质酸 修饰的鬼臼毒素纳米胶束的处方优化与体外评价 [J]. 中草药, 2024, 55(22): 7663-7673.
- [23] Liu M, Zhang Z X, Wang J H, *et al*. Immunomodulatory and anti-ovarian cancer effects of novel astragalus polysaccharide micelles loaded with podophyllotoxin [J]. *Int J Biol Macromol*, 2025, 290: 138960.

[责任编辑 解学星]